

**AMINOAZIDOEN DERIBATU DIREN  $\gamma$ -LAKTAMEN  
SINTESIA, FUNTZIONALIZAZIOA ETA AKTIBITATE  
ANTITUMORALAREN EBALUAZIOA**

– Gradu Amaierako Lana –

**Amaia González Melero**

Farmazia Gradua

2020/2021 ikasturtea

## **AURKIBIDEA**

### **LABURPENA**

<b>SARRERA.....</b>	<b>1</b>
<b>HELBURUAK.....</b>	<b>6</b>
<b>EMAIZZAK ETA EZTABAJDA .....</b>	<b>7</b>
1. Laktamen sintesia.....	7
2. Funtzionalizazioa .....	10
3. Aktibitate zitotoxikoaren ebaluazioa .....	12
<b>ONDORIOAK .....</b>	<b>14</b>
<b>ATAL ESPERIMENTALA .....</b>	<b>15</b>
<b>ATAL KIMIKOA.....</b>	<b>15</b>
1. Teknikak eta materialak.....	15
2. Osagai anitzeko 1,5-dihidro-2H-pirrol-2-onen sintesia .....	16
3. 4a Laktamaren funtzionalizazioa.....	19
<b>ATAL BIOLOGIKOA.....</b>	<b>20</b>
1. Teknikak eta materialak.....	20
2. Zitotoxikotasun probak.....	20
<b>BIBLIOGRAFIA.....</b>	<b>21</b>

## LABURDUREN ZERRENDA

Ar	Aromatikoa
DCM	Diklorometanoa (Dichloromethane)
d	Dobletea
dd	Doblete bikoitza
ddd	Doblete bikoitzaren bikoitza
FPR1	<i>Formyl Peptide Receptor 1</i>
GIB	Giza Inmunoeskasiaren Birusa
gt	Giro tenperatura
HRMS	Erresoluzio handiko masa espektrometria
IC <sub>50</sub>	%50eko inhibiziorako kontzentrazio maximoa
IRTF	Fourier transformatuaren bidezko infragorria
J	Akoplamendu konstantea
LDA	Litio diisopropilamiduroa
MCR	Osagai anitzeko erreakzioa ( <i>MultiComponent Reaction</i> )
NCI	<i>National Cancer Institute</i>
NMR	Erresonantzia Magnetiko Nuklearra ( <i>Nuclear Magnetic Resonance</i> )
NSZ	Nerbio sistema zentrala
OME	Osasunaren Mundu Erakundea
S <sub>z</sub>	Singlete zabala
SAR	<i>Structure-Activity Relationship</i>
t	tripletea
TLC	Geruza fineko kromatografia ( <i>Thin Layer Chromatography</i> )
VEGF-R	<i>Vascular Endothelial Growth Factor Receptor</i>
δ	Lerrakuntza kimikoa
λ	Uhin luzera

## LABURPENA

Gaixotasun garrantzitsua bihurtu da minbizia gure gizartean, heriotzen lehenengo kausa izatera heldu delarik. Farmako berriak beharrezkoak dira, eskuragarri dauden tratamenduak nahiko ez direlako hain aldagarría eta kaltegarria den gaixotasuna tratatzeko.

Nitrogenodun heterozikloak unitate farmakoforo ezagunak dira eta erabilera ezberdinak dituzten hainbat farmakoetan agertzen dira. Pirrola, pirrolidina eta honen deribatuak, natural zein sintetikoak, aktibilitate antitumorala edo zitotoxikoa duten molekulen artean aurki daitezke. Bilaketa bibliografikoa eginez gero, *N*-heterozikloen sintesi bideak oso ikertuak izaten ari direla ikus daiteke, eta produktuen *in vitro* saiakuntzak zelula tumoraletan ugariak direla ere bai. Orokorrean laborategian lortzen diren aurreneko emaitzak positiboak izaten dira, eta badaude entsegu klinikoetan frogatuak izatera heldu diren konposatuak.

3-Amino-1,5-dihidro-2*H*-pirrol-2-onak deribatu batzuen aktibilitate zitotoxikoa aurretiaz frogatua izan da eta honen ikerketarekin jarraitu nahi izan da Gradu Amaierako Lan honetan. Orain arte sintetizatu ez diren  $\gamma$ -laktamak prestatu eta karakterizatu dira, eraztunaren laugarren eta bosgarren karbonoetan ordezkatzailerik ez dituztenak. Honetarako, osagai anitzeko erreakzioa (*MCR – MultiComponent Reaction*) erabili da aldehido bat, etil pirubatoa eta anilina aromatikoak baliatuz. Ondoren, laktama hauen funtzionalizazioa saiatu da 4. karbonoan funtzio talde ezberdinak sartuz.

Amaitzeako,  $\gamma$ -laktama baten *in vitro* aktibilitate zitotoxikoa frogatu da A594 birika zelula tumoraletan. Honen aktibilitatea aurretik ikertuak izan diren beste  $\gamma$ -laktama batzuekin alderatu ahal izan da, eta honekin batera, molekulan erantzitako talde funtzionalen eragina ebaluatu.

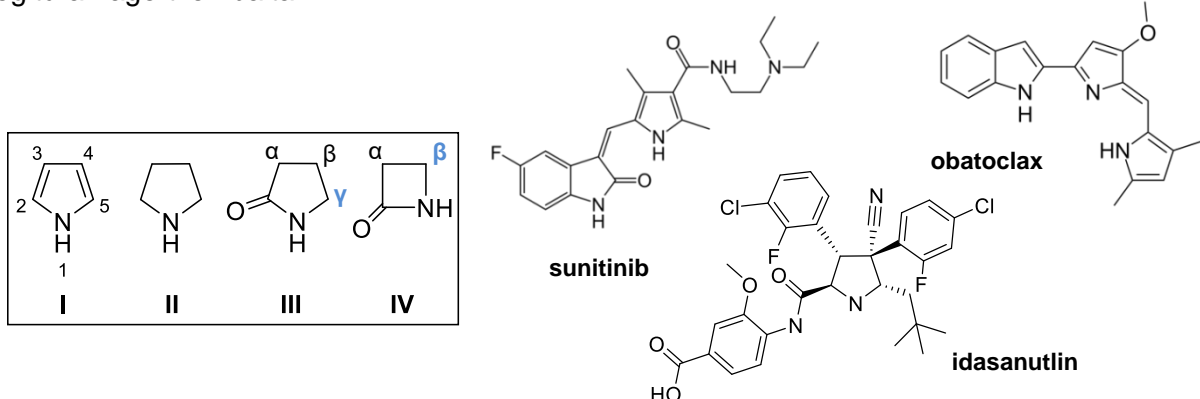
## SARRERA

Antzinako gauza da naturaz baliatzea gizakiak pairatzen dituen patologiak tratatzeko. Landare, animali zein mikroorganismoetatik konposatuen erauzketa aspaldiko teknika da. Praktika hau gaur egun ere mantentzen den arren, ikerkuntzan egin diren aurrerapenek ezaugarri fisiko-kimiko, farmakozinetiko eta farmakodinamiko hobeak dituzten konposatuen garapena ahalbidetu dute. Jarduera honetan, Kimika Farmazeutikoak esku hartze handia izan du, konposatuen optimizazioan, baita molekula farmakologiko berrien diseinuan ere, lan eginez.

Minbizia kimioterapia, radioterapia edota ebakuntza bidez tratatzen da, eta azken aldian aurrerapen handiak egin izanagatik ere, tratamendu berrien beharra nabaria da oraindik. Osasunaren Mundu Erakundeak (OME) heriotzen eragile nagusien artean sailkatzen du minbizia: 2020. urtean ia 10 milioi heriotzen kausa izan zen. Birika eta bular-minbiziak maizen agertzen direnak dira eta birikakoa zehazki, heriotza gehien eragiten dituen neoplasia gaztoa da (1,8 milioi heriotza 2020. urtean).<sup>1</sup>

Tumoreek gorputzeko edozein ataletan agertzeaz gain, mutazioak garatzeko ahalmen handia dutenez, aukera terapeutikoak ere anitzak izan behar dira. Gainera, gaixoek tratamendu ezberdinak behar izan ohi dituzte intolerantziak edota eraginkortasun falta direla eta. Zenbat eta medikamentu mota ezberdin gehiago eduki, orduan eta tratamendu aproposagoak erabili ahalko dira neoplasia bakoitzaren aurka. Gaixoek oso prozesu gogorrak eta luzeak jasan behar dituzte, eta tratamenduen optimizazioan lan eginez gero, pertsona askoren bizi kalitatea hobetu ahalko litzateke.

Helburu horretarako, bai natura, bai kimika oinarrizkoak dira, Kimika Farmazeutikoan egin diren aurkikuntzek erakutsi duten moduan. Honen adibide da lan honetan aztertuko den  $\gamma$ -laktama eratzuna (1. irudia, III), pirrolidin-2-on edo azolidin-2-on izenekin ere ezagutua, interes biologikoko aktibitatea aurkezten duten hainbat konposatu natural zein sintetikoen egituraren agertzen baita.<sup>2</sup>



1. irudia. N-Heterozikloak, eta pirrola eta pirrolidina duten konposatu bioaktiboen adibideak.

Hauek bezalako nitrogenodun heteroziklikoetaz baliatzea ez da gauza berria. Kontuan hartu behar da alkaloideak isolatu eta aztertu ziren lehenengotariko konposatuak izan zirela, eta hauen artean mota anitzeko egiturak eta eragin biologikoak identifikatu direla.<sup>3</sup> Gaur egun, egitura *N*-heteroziklikoak pisu molekular txikiko farmakoen artean gehien errepikatzen diren egiturak izatera heldu dira.<sup>4</sup> Horrez gain, afinitate eta potentzia handiagoko farmakoen sintesia ahalbidetzen dutenez, farmako seguruagoen diseinurako aukera estrategiko interesgarriak bihurtzen dira heteroziklo mota hauek.<sup>5</sup>

*N*-Heteroziklo hauen artean, farmako ugarietan agertzen diren pirrol eratzun aromatikoa (1. irudia, **I**) eta honen deribatu asetua, pirrolidina (1. irudia, **II**) daude. Pirrola funtzió antibakteriano, antibiral edo antiinflamatorioa duten konposatueta agertzeaz gain, erabilera antitumorala duten zenbait molekuletan ere badago.<sup>6,7,8,9</sup> Azken hauen adibide dira komertzializatua dagoen sunitinib (1. irudia) osagai aktiboa<sup>10</sup>, edo entsegu klinikoen III fasera heldu den obatoclax (1. irudia).<sup>11</sup>

Pirrolidina (1. irudia, **II**) unitate farmakoforo garrantzitsua da ere bai, funtzió ezberdin betetzen dituzten osagai aktibo askotan agertzen baita. Hau ere eragin zitotoxikoa duten molekulen garapenean erabili da<sup>12,13,14</sup> eta adibide lez indasanutlin osagai aktiboa (1. irudia) aipa daiteke, entsegu klinikoen III fasean frogatua izan dena terapia konbinatu bezala, emaitza positiboak lortuz.<sup>15,16</sup>

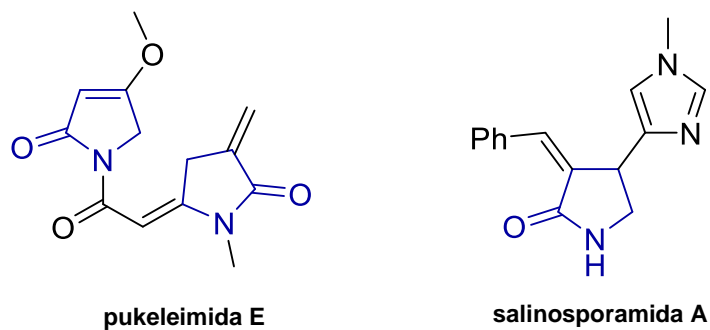
Gehiago sakonduz, pirrolidinaren deribatua den  $\gamma$ -laktama (1. irudia, **III**) dago. Aurreko egiturei bezala, eragin biologiko anitz atxiki zaizkio molekula honi, haien artean eragin zitotoxikoa tumore zelulen aurka. Konposatu bioaktibo natural zein sintetikoetan agertzen da<sup>2</sup> eta farmako berrien sintesirako duen potentzialagatik Kimika Farmazeutikoan oso egitura interesgarria da.

$\gamma$ -Laktamei buruz hitz egin ahal izateko, aurretik zer diren azaldu beharra dago. Laktama izenak egitura *N*-heteroziklikoa duten konposatu ei egiten die erreferentzia, amida talde funtzionalaren ziklazioz eratutako konposatu ei hain zuzen ere. Laktama izena aski ezaguna da hain garrantzitsuak diren antibiotiko  $\beta$ -laktamikoak direla eta, baina  $\beta$ -laktamak (1. irudia, **IV**) lau atomotako eratzunak diren bitartean,  $\gamma$ -laktamak (1. irudia, **III**) bost kideetakoak dira.

Hasiera batean,  $\gamma$ -laktama nukleoarekiko zegoen interesa eratzun  $\beta$ -laktamikoekin duen antzekotasunetik zetorren, antibiotiko  $\beta$ -laktamikoekiko erresistentzien arazoari aurre egiteko aukera bat izango zelakoan. Izan ere, mikrobio aurkako ekintza amida loturan, eta ez eratzunaren tamainan, oinarritzen dela frogatu zen.<sup>17</sup> Hala ere, laster konturatzen ziren egitura honi atxiki zatzaizkiokeen efektuak beste hainbat direla,  $\gamma$ -laktama biologikoki aktiboa diren

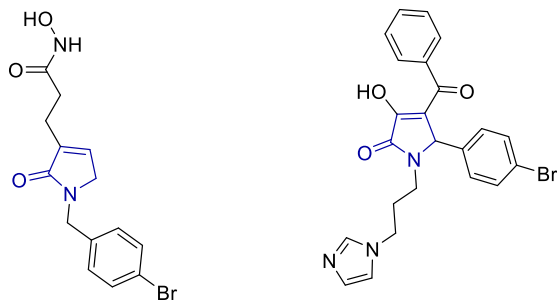
produktu naturalen zein farmako sintetikoek egitura ohikoa baita.<sup>2</sup> Aurkezten duten aktibitate biologikoa epilepsiaren<sup>18</sup>, Alzheimer gaixotasunaren<sup>19</sup> eta infekzioen (GIB<sup>20</sup> edo bakterianoa<sup>21,22</sup>) tratamenduetan eraginkortasuna erakutsi dute, adibidez. Lan honetan, berriz, interesekoa izango den eraginak antitumoral eta zitotoxikoa dira.<sup>23,24</sup>

$\gamma$ -Laktama zatia aurkezten duten farmako naturalei dagokienez, hainbat molekula bioaktibo aurkitu dira mekanismo ezberdinen bitartez eragin zitotoxikoa erakutsi dutenak.<sup>2,25,26</sup> Honen adibide dira anantine eta isoanantina,<sup>27</sup> baita pukeleimida E<sup>28</sup> (2. irudia) ere.  $\alpha$ -Metilen- $\gamma$ -laktama egitura agertzen duten konposatuak dira, eta eragin zitotoxikoa ez ezik, aktibitate antitumoral eta antiinflamatorioa ere erakutsi dute. Beste agente kimioterapeutiko posible bat onddo batetik erauzitako UCS1025A izeneko antibiotiko antitumoral da, telomerasaren inhibizioari esker, zelula tumoral mota ezberdinen aurkako aktibitatea aurkeztu duena *in vitro* saiakuntzetan.<sup>29</sup> Minibiziaren aurkako eragina duen molekula naturalen adibideekin amaitzeko, jada entsegu klinikoetan frogatua izaten ari den salinosporamida A (2. irudia) aipatu beharra dago, 20S proteosomen inhibitzailea den konposatura. Honek Minbizi Institutu Nazionaleko (NCI) 60 zelula lerroetan (kolon, biriki, NSZ, bular eta melanoma zeluletan, besteak beste) eragin inhibitzailea erakutsi du.<sup>2,30</sup>



## 2. irudia. Aktibitate antitumoral duten $\gamma$ -laktama naturalen egiturak.

Konposatu sintetikoak bestalde, konposatu bioaktibo naturalak oinarri bezala hartuta diseinatu dira askotan. Modu honetan, aktibitate antiproliferatiboa duten molekulen sintesia posible izan da; hala nola, ziklazio intramolekular bidez (C-C lotura berria eratuz) sintetizatutako **V** konposatura (3. irudia). Konposatu honek eragin antitumoral duen deribatu  $\gamma$ -laktamiko sintetikoa da, zelula neoplasikoen hazkuntza geldiarazten duena histonen deazetilasaren inhibitzailea delako.<sup>31</sup> [3+2] Anulazioz sintetizatutako **VI** konposatuak (3. irudia) ere erabilera antitumoral agertzen du, nutlin-3-k<sup>32</sup> jarraitzen duen mekanismo berari esker, alegia, p53-MDM2 proteina-proteina interakzioaren inhibitzaileaz.<sup>33</sup>

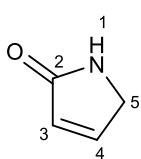


V

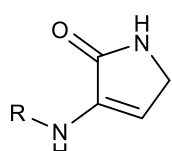
VI

**3. irudia.** Aktibitate antitumoralia duten  $\gamma$ -laktama sintetikoen adibideak.

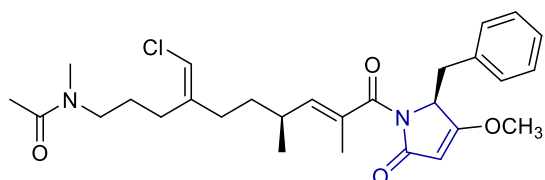
Azken molekula honetan 1,5-dihidro-2*H*-pirrol-2-on zatia (4. irudia, VII) agertzen da. Hau da, zikloko lotura bikoitzari esker  $\pi$  elektroien sistema konjugatu bat agertzen duen  $\gamma$ -laktamen deribatu asegabea da. Hainbat deribatu sintetiko daude egitura hau dutenak, eta FPR1 antagonista<sup>34</sup>, GIB-1 antibiral<sup>35</sup>, antitumoral<sup>34</sup>, edo VEGF-R inhibitzaile<sup>36</sup> bezalako aktibitate farmakologikoak atxiki zaizkie. Smenamide A (4. irudia) eta haren deribatuek,  $\gamma$ -laktama asegabea dute haien egiturak eta mieloma zelulen gain aktibitate antiproliferatiboa erakutsi dute.<sup>37</sup>



VII



VIII



Smenamide A

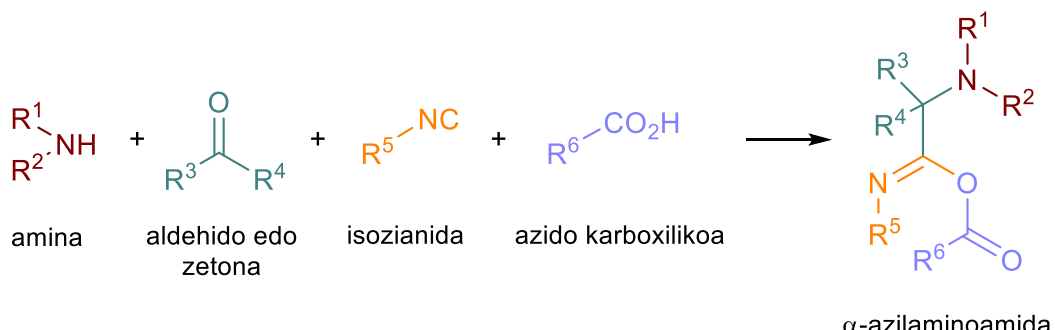
**4. irudia.** 1,5-Dihidro-2*H*-pirrol-2-on (VII) eta 3-amino-1,5-dihidro-2*H*-pirrol-2-on (VIII) egiturak eta Smenamida A.

Deribatu laktamiko hauetan amina talde bat zikloko 3 karbonoan gehituz gero (4. irudia, VIII), konjugazioa agertzeaz gain, egiturak enamina talde funtzionala izango genuke, oso talde aproposa sintesi organikoan bitartekari moduan erabiltzeko, bi hortzetako nukleozailea baita.<sup>38</sup> Bestalde, 3-amino-1,5-dihidro-2*H*-pirrol-2-onak  $\alpha$ -dehidro  $\alpha$ -aminoazido ziklikoak ere badira.<sup>39,40</sup> Deribatu zikliko hauek antibiofilm antibiotikoetan<sup>41</sup> edo kaspasa-3 inhibitzaileetan<sup>42</sup> agertzeaz gain, aktibitate zitotoxikoa ere izan dezakete, ikerketa taldean frogatu den bezala.<sup>43</sup>

Sintesi metodo anitz deskribatu dira deribatu  $\gamma$ -laktamikoen lorpenetako, hauen artean ziklazio intramolekularak eta zikloadizioak ugariak izanik.<sup>2</sup> Metodo hauek pausu anitez osotuak egon ohi dira eta horrenbestez, luzeak eta zailak izateaz gain, hondakin asko eta etekin baxuagoak izaten dituzte. Horregatik, sintesi protokolo berriak diseinatzerako orduan, osagai anitzeko erreakzioen (MCR) bidezko sintesia nagusitzen ari da.<sup>44</sup>

Erreakzio bat MCR bezala definitu ahal izateko, matraze bakarrean erreaktibo guztiak aldi berean nahasteaz gain, amaierako produktuan hasierako osagai guztiak zatiak agertu behar dira. Matraze bakarrean burututako erreakzioak, molekula organiko konplexuen eraketa modu simple eta eraginkor batean lortzea ahalbidetzen du, aldi berean purifikazio prozesuak errazten dituelarik.<sup>45</sup> Honek esan nahi du denbora, lehengaia etab disolbatzaileak aurrezten direla, eta hondakinak murritzten direla ere bai.

MCR erreakzio mota ezagunenaren artean, Passerini edo Ugi erreakzioak aurkitzen dira. Ugi erreakzio klasikoan adibidez, lau erreaktibo konbinatzen dira matraze berean: amina, aldehidoa edo zetona, azido karboxilikoa eta isozianida,  $\alpha$ -azilaminoamida produktuak lortzen dira (1. eskema). Lau osagaiko Ugi erreakzioa (*U-4CR – Ugi four-component reaction*) deritzo honi eta sintesi organikoan oso erabilia da eskaintzen dituen abantailengatik.<sup>46</sup>



**1. eskema.** Lau osagaiko Ugi erreakzioaren (U-4CR) eskema orokorra.

Ikerketa biomedikoan MCR motako erreakzioak oso baliogarriak dira dibertsitate handiko molekulen sintesia posible egiten dutelako. Halaber, Kimika Farmazeutikoan aktibitate farmakologikodun konposatu berrien bilaketan aurrerapen bat suposatzen du.  $\gamma$ -Laktamen sintesirako deskribatu diren MCR metodoen artean<sup>46</sup>, lan honetan amina aromatiko bat, aldehido bat eta etil pirubatoa baliatzen dituena erabiliko da. Horrela, 3-amino-1,3-dihidro-2*H*-pirrol-2-onak sintetizatzeko dira, gero funtzionalizatuak izan ahal daitezkeenak ordezkatzaile elektroizale ezberdinekin erreakzionaraziz.

Modu honetan, zelula tumoralen hazkuntzan eragin inhibitzailea izan dezaketen laktamen deribatuen bilketan konposatu berriak gehituko dira. Horrez gain, deribatuen arteko aktibitate zitotoxikoaren ezberdintasunak ikusi ahal izango dira. Bestalde, laktamak ordezkatzaile ezberdinekin funtzionalizatu daitezke, eta gero talde funtzional bakoitzaren eragina positiboa edo negatiboa izan den ebaluatu *in vitro* aktibitate biologikoa aztertuz.

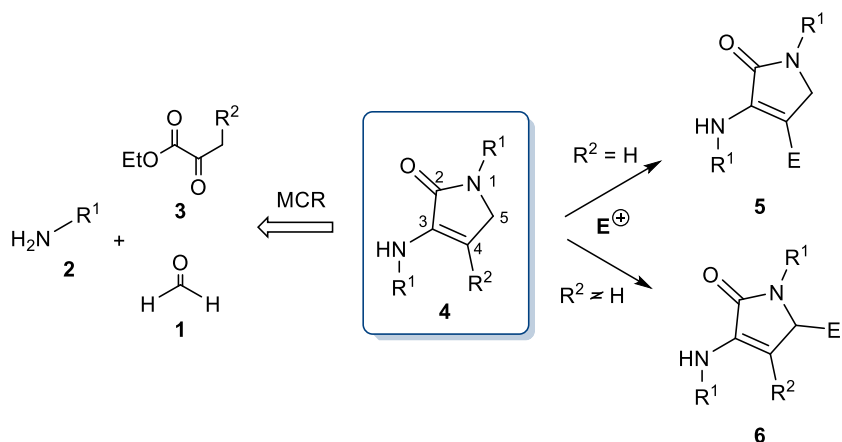
## HELBURUAK

Lan esperimental honen helburu nagusia pirrolidin-2-onen deribatu berrien sintesia da, aktibitate farmakologikoa izan dezaketen molekula berrien bilaketan aurrera egin ahal izateko.

Helburu honetarako, MCR erreakzioaren bidez **1** formaldehidoa, **2** anilina aromatiko ezberdinak eta **3** etil pirubatoa (2. eskema) erreakzionaraziko dira, **4** eta **5** C-etan ordezkatzailerik ez duten laktamak lortzeko (2. eskema, **4**:  $R^2 = H$ ). Anilinan ordezkatzaile halogenatu ezberdinak jartzean, errektibilitatean eta aktibitate biologikoan izan dezaketen eragina aztertu ahalko da.

$\gamma$ -Laktamak sintetizatu ondoren, hauek funtzionalizatzea izango da hurrengo pausua. Aurretiaz ikertutakoaren arabera, laktamek aktibitate zitotoxiko hobeak dute funtzionalizatuak izan ostean. Enaminaren errektibilitateari esker, laktamaren laugarren karbonoan talde funtzional elektroizaleak gehituko dira (1. eskema, **5** eta **6**).

Halaber, etil pirubatoaren deribatu bat erabiliz, laugarren karbonoa ordezkatutako laktama prestatuko da (2. eskema, **4**,  $R^2 = CH_3$ ) haren errektibilitatea nolakoa den aztertzeko. Izan ere, laugarren posizioa blokeatuta egonda, 5. karbonoan enolatoa sortu eta funtzionalizazioa gertatuko ote den ikusiko da (2. eskema, **6**).



**2. eskema.** Anilina, aldehidoa eta pirubatoaren arteko MCR erreakzioa, eta ondorengo funtzionalizazioa elektroizaleekin ( $E^+$ ).

Amaitzeko, sintetizatutako deribatuen aktibitate antiproliferatiboa aztertuko da. Lehendabizi, konposatuuen disoluzio ezberdinak prestatuko dira giza zelula tumoralen hazkunza medioetara gehitzeko. Zelulen hazkuntzan inhibizioa antzemanez gero, konposatuak giza zelula osasuntsuekin jarriko dira kontaktuan. Entsegu honetan, zelula osasuntsuetan inhibiziorik ez ematea bilatzen da, honek konposatuuek zelula tumoralekiko selektibilitatea dutela adieraziko lukeelako.

Orohar, ordezkatzaila ezberdinak dituzten  $\gamma$ -laktamen prestatzearekin bat, sintesi prozedurak optimizatzeaz gain, bioaktibitatean garrantzitsuak izan daitezkeen molekula zatiak identifikatu ahalko dira. Hau da, laktama ordezkatuak aktibitateak alderatuz egitura-aktibitate erlazio ikerketak (SAR ikerketak) egin ahalko dira.

## EMAITZAK ETA EZTABaida

Hasieran esan bezala, farmako berrien bilaketa garrantzi handikoa da. Azken urteotan aurrerapen handiak egin izanagatik ere, oraindik ez dago minbizia sendatzeko tratamendu ziurrik. Gainera, minbizia hain gaixotasun aldakorra izanik, tratamenduak anitzak ere izan behar dira.

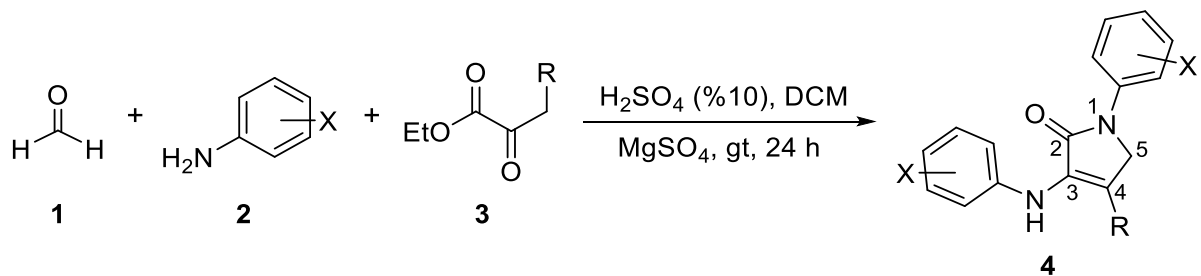
Kimika Farmazeutikoaren helburua, konposatu kimioterapiko berriak lortzeaz gain, hauen sintesi prozedurak optimizatzea izango litzateke. Aukera terapeutiko ezberdinak behar dira, baina hauen lorpena erraza eta jasangarria izatea garrantzitsua da ere bai. Horregatik, guztiz justifikatua dago molekula berrien sintesi sistematikoa; bai molekula berrien aurkikuntza arintzen delako, baita sintesi prozesuak optimizatzen direlako ere.

MCR prozedurek eginkizun honetan aurrerapen handiak ekarri dituzte eta horregatik honetaz baliatu behar gara ahalik eta molekula gehien lortzeko eta sintesi prozesu eraginkorrik eta jasangarriak diseinatzeko, azken helburua tratamendu terapeutikoen hobekuntza izanda.

### 1. Laktamen sintesia

Lehenik eta behin, ikerketaren oinarri diren laktamak prestatu dira osagai anitzeko sintesiaren bidez, saileko ikerketa lan-taldean aurretiaz deskribatu izan den osagai anitzeko sintesi prozesua jarraituz.<sup>38</sup> Erreakzio mota honetan, aldehido bat, anilina ordezkatuak eta pirubato deribatuak nahasten dira  $\gamma$ -laktama ezberdinak prestatzeko.

Lan honetan, zehazki, etil pirubatoa, anilina halogenatu ezberdinak eta formaldehidoa gehitu dira matrazean, azido sulfurikoaren kantitate katalitikoekin batera (3. eskema). Formaldehidoa erabiltzen da bosgarren karbonoa ordezkatzailerik ez duten laktamak lortzeko. Bestalde, 4. karbonoa metilo ordezkatzalea agertzen duen laktamaren prestaketarako etil pirubatoa erabili beharrean, metil 2-oxobutanoato deribatua erabili da (3. eskema, 3: R = CH<sub>3</sub>).



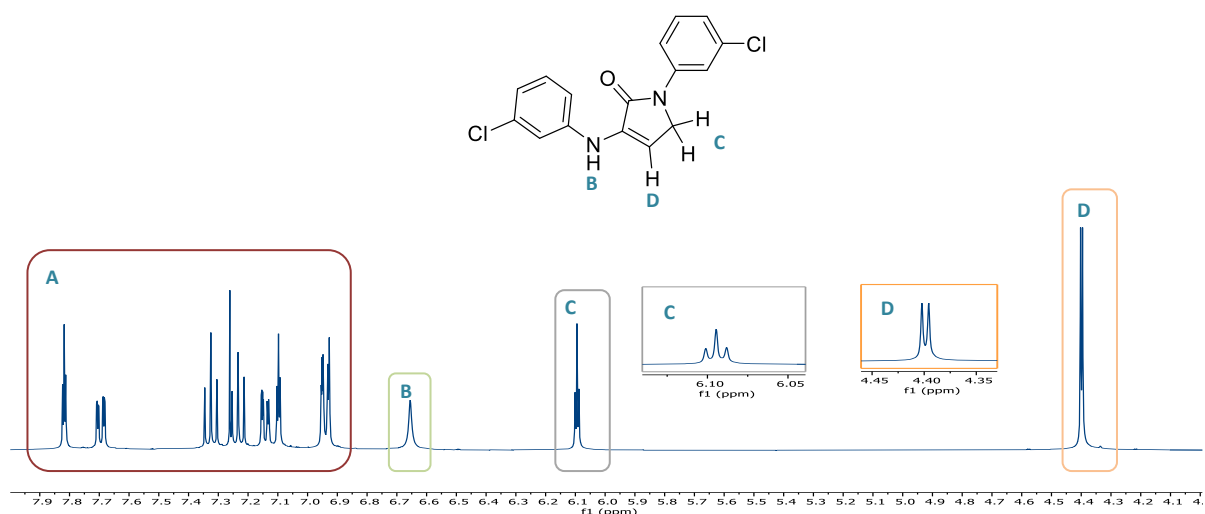
- a:** X = 3-Cl, R = H (% 28)    **c:** X = 3-Br, R = H (% 43)  
**b:** X = 2-F, R = H (% 14)    **d:** X = 3-Cl, R = CH<sub>3</sub> (% 17)

**3. eskema.**  $\gamma$ -Laktamen MCR bidezko sintesiaren eskema orokorra.

Horrela, lau laktama berri prestatu ahal izan dira (3. eskema, **4a-d**). Hauen isolamendu eta purifikaziorako, kristalizazioa edo, hau posible izan ez denean, zutabe kromatografikoak erabili dira. Lortutako produktuak karakterizatzeko berriz, <sup>1</sup>H-NMR, <sup>13</sup>C-NMR, IRFT eta HRMS teknika espektroskopikoak baliatu dira.

Adibidez, **4a** konposatuaren <sup>1</sup>H-NMR espektroan, molekularen ziklazioa gertatu dela baieztagaten duten seinalek agerian dira (5. irudia):  $\delta_H = 4.40$  ppm-tan agertzen den dobletea eta  $\delta_H = 6.09$  ppm-tan agertzen den tripletea, haien artean akoplatuak daudenak  $^3J = 2.69$  Hz-ko akoplamendu konstantearekin. Dobletea zikloko CH<sub>2</sub> taldeko protoiei dagokio (3. irudia, **D** seinalea) eta tripletea aldiz, ondoko protoi binilikoaren seinalea da (3. irudia, **C** seinalea). Gainerako seinaleak, amina taldearenak (3. irudia, **B** seinalea), ur deuteratuaz desagertzen dena, eta protoi aromatikoenak (3. irudia, **A** seinale multzoa) dira.

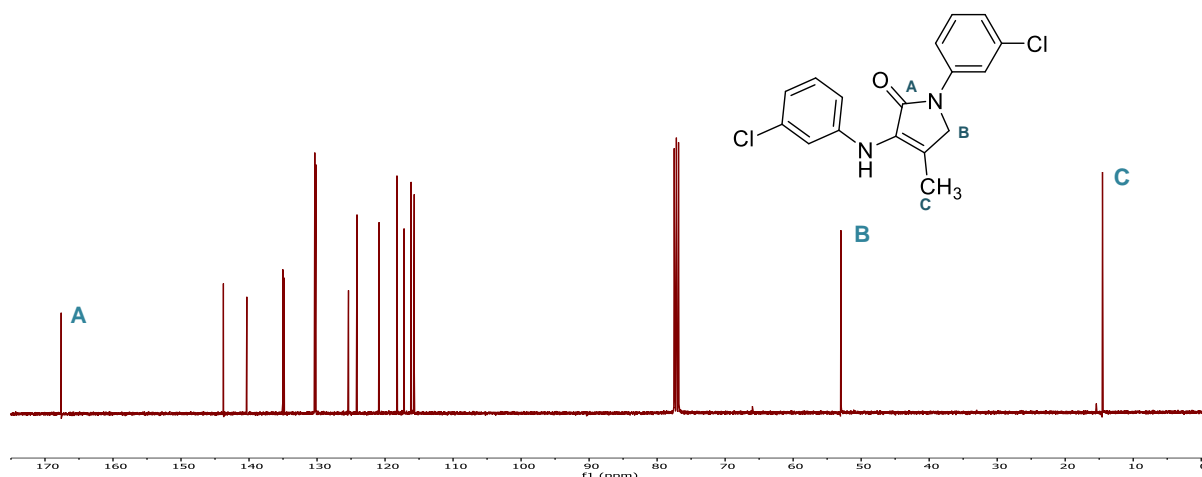
**4d** Laktamaren espektroan berriz, protoi binilikoaren seinalea desagertu eta haren ordez  $\delta_H = 1.93$  ppm-tan metil taldearen singletea agertzen da, CH<sub>2</sub> taldeko seinalea singletea den bitartean.



**5. irudia.** **4a** Molekularen <sup>1</sup>H-RMN espektroa.

$^{13}\text{C}$ -NMR espektroari dagokionez, aurrekoan bezala, eratzuneko karbonoak dira adierazgarrienak. **4d** Laktamaren kasuan, adibidez, eratzunaren karbonilo taldearen seinalea amidetan ohikoa den desplazamendu kimikoan agertzen da,  $\delta_{\text{C}} = 167.6$  ppm izanik (6. irudia, **A** seinalea).  $\delta_{\text{C}} = 52.9$  ppm-tan, zikloko  $\text{CH}_2$ -ko karbonoa (6. irudia, **B** seinalea) antzeman daiteke. Laktama honen kasuan (**4d**), gainerakoan agertzen ez den seinalea ikus daiteke  $^{13}\text{C}$ -NMR espektroan: metilo taldearen karbonaren seinalea,  $\delta_{\text{C}} = 14.5$  ppm-tan (6. irudia, **C**).

Asignazio hauek baiezttatzeko, DEPT esperimentua erabili da. Bertan, karboniloaren seinalea (**A**) desagertzen da **4a-d** laktametan, eta zikloko 4. atomoaren seinalea positiboa da (gorantz agertzen da) **4a-c** konposatuetan, **4d**-ren kasuan desagertzen den bitartean. **B** karbonoen seinalea negatiboa da (beherantz agertzen da) DEPT espektro guztietan.

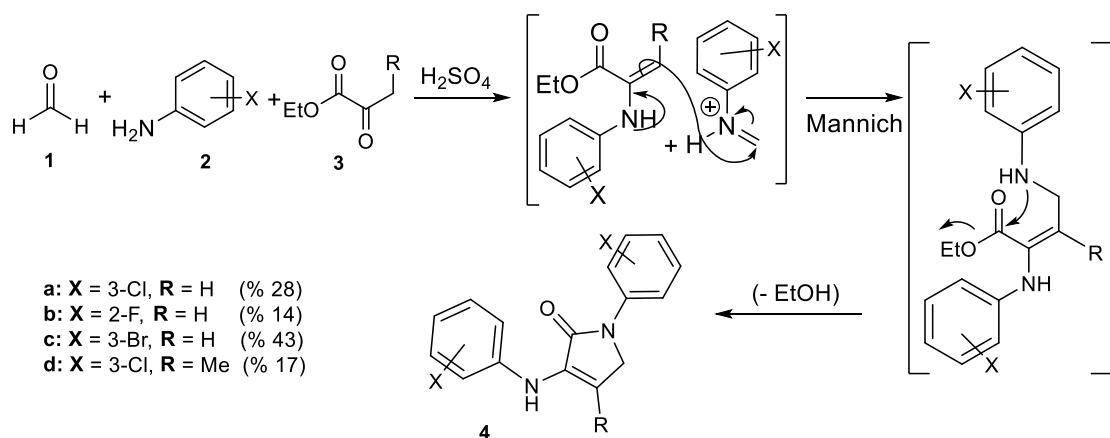


**6. irudia.** **4d** Laktamaren  $^{13}\text{C}$ -NMR espektroa.

2-Fluoroanilina lehengaia erabili den kasuan, egituran bi fluor atomo duen **4b** laktama prestatzeko asmoz, aurreko analisi espektroskopikoez gain,  $^{19}\text{F}$ -NMR espektroa ere burutu da. Hala, bi fluor atomoak ezberdinak izanda, bi seinale ezberdin ageri dira  $\delta_{\text{F}} = -121,5$  eta  $-132,1$  ppm-tan, **4b** laktama fluorodunaren prestaketa arrakastaz egin dugunaren seinale.

Karakterizazioa osatze aldera, IR espektroa ere aztertu da talde funtzional bereizgarrienak identifikatzeko. Horrela,  $\nu = 3350 \text{ cm}^{-1}$ -ean N-H taldearen tentsio bibrazioaren seinalea ikus daiteke,  $\nu = 3100 \text{ cm}^{-1}$ -ean agertzen diren  $=\text{C}-\text{H}$ -en seinaleetatik gertu. Azken hauek  $\text{sp}^2$  hibridaziodun karbonoen eta hauei loturiko hidrogenoaren arteko tentsio bibrazioari dagozkie; hau da, fenil taldekoen eta laktama barneko alkenoaren C-H lotutaren seinaleak dira. Bestalde,  $\text{sp}^3$  hibridazioko C-H loturaren tentsio bibrazioak  $\nu = 2910 \text{ cm}^{-1}$  aldera antzeman daitezke. Azkenik, talde funtzional bereizgarrienetarikoa  $\nu = 1595 \text{ cm}^{-1}$ -tan agertzen den seinalea da; amidaren karbonilo lotura bikoitzaren tentsio bibrazioaren seinale zorrotza, hain zuzen ere.

Laktama guztiak sintetizatu eta karakterizatu direnean, MCR erreakzio honen mekanismoa proposatu ahal da. Hasteko, anilinaren baliokide bana etil pirubatoarekin eta formaldehidoarekin kondentsatzen dira aldi berean, enamina eta imina bat emanez, hurrenez urren (4. eskema). Ondoren,  $H_2SO_4$  katalizatzaile azidoaren eraginez iminaren protonazioari esker, Mannich erreakzio bat gertatzen da bitartekari irekia emanez. Amaitzeko, aminak karboxilatoaren karbonoa erasotzean molekula barneko ziklazioa gertatzen da, etanolak askatzearekin batera (4. eskema).



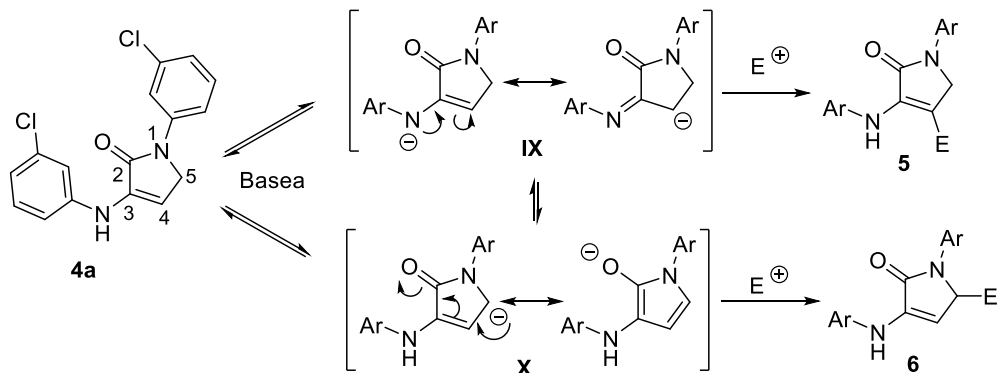
Sintesien emaitzak aztertzeraikoan, ikusi ahal izan da anilinaren ordezkatzaile den halogeno motaren arabera, baita kokapenaren arabera ere, erreaktibitatea aldagarría den. Lortutako etekinetan antzeman daiteke hau, 3-bromoanilina erreaktibo lez daukan erreakzioak etekin hoherena eskaini duen bitartean, 2-fluoranilinak etekin baxuena eman baitu. Horren arrazoia erreakzioaren mekanismoari erreparatuta aurkitu ahal dugu. Izan ere, alde batetik, fluor atomoa elektronegatiboena izanda, bitarteko aminaren erreaktibitatea murrizten du Mannich erreakzioan (4. eskema). Bestetik, tamaina txikieneko halogenoa izan arren, *ortho* posizioan dagoenez, hau da, erreakzio guneetatik oso gertu, oztopo esterikoa egongo da eta erreaktiboen arteko hurbilketa zailduta. Honek guztiak azaldu zitekeen ezberdintasunak erreaktibitatean

## 2. Funtzionalizazioa

Behin laktamen sintesia eginda, hauetan talde funtzional gehigarriak txertatzea da hurrengo helburua. Horretarako, laktaman dagoen enaminaren berezko erreaktibitatea aprobetxatz, laugarren karbonoaren bitartez eraldaketa kimikoak saiatu dira (5. Eskema).

Adibidez, **4a** laktama base batekin tratatzerakoan, enaminaren desprotonazioa gertatu ahal da eta **IX** azaenolatoa sortu. Ondoren, bitartekari nukleozale honek erreakzioa eman

dezake erreaktibo elektroizale batekin eta 4. karbonoan funtzionalizatutako **5** laktama berria eratu.



##### 5. Eskema. 4a Laktamaren erreakzio posibileak elektroizaleekin.

Halaber, azaenolatoaz gain, **X** enolato binilogoa ere era daiteke eta orduan, espezie elektroizale batekiko ondorengo erreakzioak, 5. karbonoan ordezkatutako **6** laktama sortuko luke.

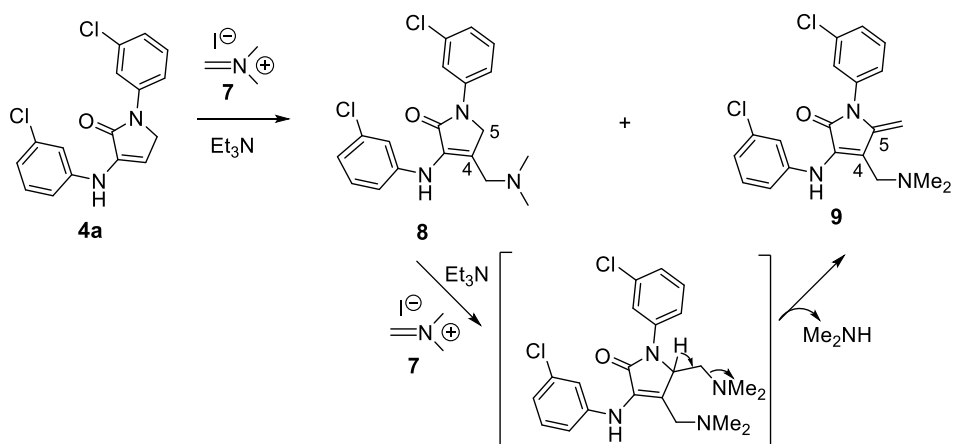
Lehenengo saiakeran, **4a** laktama metil propiolato erreaktiboarekin erreakzionarazi genuen, LDA base sendo bezala erabiliz. Modu horretan, eta adizio konjugatuaren bitartez, 4. posizioan ester konjugatua izango zuen molekula lortzea zen helburua. Erreakzioa 24 orduz izan ondoren, hasierako laktama desagertu zela ikusi zen TLC-ren bitartez. Hala ere, erreakzioaren emaitza gordina tratatu ostean, produktu ugariz osotutako nahastea lortu zen, eta ezin izan zen konposatura isolatu ezta identifikatu ere.

Bigarren saiakera batean, eta laktamaren laugarren posizioan aminometil talde bat txertatzeko asmoz, Eschenmoser erreaktiboa ((*N,N*-dimetil) metilenamonio ioduroa) (**6. eskema, 8**) erabili da. Erreakzioa trietilamina basearekin eta tenperatura aplikatuz (60 C°), 72 orduz mantendu zen. Kasu honetan lehengai bezala erabilitako **4a** laktamak ez du guztiz erreakzionatu, baina proportzio handi batean konposatu berri bat antzeman da TLC-an. Zutabe kromatografikoa egin ostean, banaezina diren bi produktuen nahastea dela ikusi da.

Izan ere, frakzio horren <sup>1</sup>H-RMN espektroa aztertzean, funtzionalizazioa laugarren karbonoan ez ezik, bosgarrenean ere gertatu dela ondorioztatu da (**6. eskema**). Modu honetan, bi deribatu nagusi lortu dira: **8** konposatura, ordezkatzailea 4. karbonoan duena, eta hortaz gain, **9** konposatura, 4. karbonoan dimetilaminometil taldea eta 5. karbonoan metilen talde bat dituena.

Bi konposatu hauen eraketa azaltzeko, **6. eskema** azaltzen den portaera proposatzen da. Honen arabera, base baten presentzian laktamak enamina bezalako portaera kimikoa du (**5. eskema, IX** bitartekaria). Hortaz, hasiera batean Eschenmoser gatz elektroizaleak

enaminaren erreaktibitatea baliatuz 4. karbonoaren bidez erreakzionatu, eta ondorioz **5** deribatua sortuko da. Konposatu hau, beraz, enaminaren enolatoaren adizio nukleozalearen produktu zuzena da. Jarraian, molekula honek haren enolato binilogoaren bitartez (5. eskema, **X** anioiaren analogoa), Eschenmoser gatzaren bigarren mol batekin erreakzionatzen du eta 5. zein 4. karbonoetan funtzionalizatutako bitarteko molekula eratuko da, nahiz eta hau ezin identifikatu (6. eskema). Azkenik, baseak lagunduta, dimetilamina talde ateragarri onaren eliminazio erreakzio bat gertatu, eta horren ondorioz metilen talde bat eratuko da, **9** konposatura sortuz.



**6. Eskema.** **4a** Laktamaren eta dimetilmelenamonio ioduroaren (**8**) arteko erreakzioa.

Horrenbestez, laktama funtzionalizatzea lortu dugun arren, erreakzioa ez da ez erabatekoa, ez selektiboa izan. Izan ere, laktamaren frakzkio batek ez du erreakzionatu, nahiz eta denbora luzez eragin eta Eschenmoser erreaktiboa soberan jarri. Bestalde, 5. eskeman aurreikusi diren portaera biak antzeman dira laktama honekin, hau da, enaminaren azaenolatoaren bidezko erreakzioa eta, jarraian, karboniloaren enolato binilogoarena. Sortu diren bi konposatuen nahastea banandu ezin izan den arren,  $^1\text{H}$ -espektroan **8** zein **9** konposatuen seinale adierazgarrienak identifikatu ahal izan dira.

### 3. Aktibitate zitotoxikoaren ebaluazioa

Azken urteotan, gure ikerketa taldean mota honetako  $\gamma$ -laktamen sintesia eta ebaluazio biologikoa burtu da, minbizi zelula-lerro ezberdinaren aurrean.<sup>43</sup>

Hala ere, zikloko 5. karbonoan ordezkatu gabeko laktama oso gutxi ebaluatu dira. Horregatik, ordezkapen patroi hori duten konposatu berriak prestatu eta haien aktibitatea neurtea interesgarri iruditu zaigu. Beraz, Gradu Amaierako Lan honetan laktamen aktibitate antitumoralaren frogapenerako *in vitro* saiakuntzak egiteari ekin genion giza biriketako kartzinoma zeluletan (A-594).

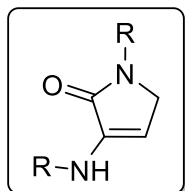
Lehenik eta behin, **4a** laktamaren aktibitate biologikoa aztertu da, 50  $\mu\text{M}$  baino gehiagoko  $\text{IC}_{50}$  balioa lortuz. Horrek esan nahi du laktama honez ez duela zitotoxikotasunik erakutsi zelula-lerro honen gainean.

Minbizi zeluletan aktibitate antitumoralra aurkitu balitz, hurrengo urratsa konposatuaren selektibilitatea aztertzea izango litzateke, alegia, tumore-zeluletan inhibizioa eragiten eta zelula osasuntsuetan, aldiz, eraginik ez duela ikertzea.

Gure kasuan, minbizi-zeluletan eraginik ez dagoenez, **4a** ez da birikietako fibroblastoetan, hau da, MRC-5 zelula ez tumoraletan, frogatu.

Emaitsa hau testuinguruan jartzeko, 1. taulan **4a** molekularen eta analogo batzuen zitotoxikotasuna erakusten da. Bada, **10** eta **11** laktamek aktibitate antitumoralra erakutsi dute A594 zelulen aurka, eta ez MRC5 zelula osasuntsuen aurrean. Hortaz, selektiboak dira aktibitate txikia izan arren. Nabamentzekoa da **11** konposatuak  $\text{IC}_{50}$  balio hobeak eman dituela eta halogeno (fluor) duela bere egiturak. Horrenbestez, pentsa zitekeen halogenoen presentziak aktibitatearen erantzulea dela, baina kloroa duen **4a** konposatura ez da zitotoxikoa suertatu zelula hauetan. Presatu ditugun gainontzeko **4b** eta **4c** laktamek fluor eta bromo halogenoak dute ziklo aromatikoan, eta hauek frogatzea interesekoa izango litzateke halogenoek aktibitate zitotoxikoan izan ditzaketen eragina aztertzeko. Jakina da fluorrak molekulei ezaugarri fisiko-kimiko eta biologiko bereziak eman ahal dietela.<sup>48</sup>

**1. taula.**  $\gamma$ -Laktamen  $\text{IC}_{50}$  balioak A594 (tumoralak) eta MRC5 (osasuntsuak) zeluletan.



- 10:** R = 4-CH<sub>3</sub>C<sub>6</sub>H<sub>4</sub>  
**11:** R = 4-CF<sub>3</sub>C<sub>6</sub>H<sub>4</sub>  
**4a:** R = 3-ClC<sub>6</sub>H<sub>4</sub>

Sarrera	Konposatura	IC50 ( $\mu\text{M}$ )	
		A594	MRC5
1	<b>10</b>	38,25 ± 3,35	> 50
2	<b>11</b>	22,94 ± 1,13	> 50
3	<b>4a</b>	> 50	---

Hurrengo urratsa, beraz, **4b** eta **4c** laktamen ebaluazioa burutzea da, baita laugarren karbonoan ordezkatutako **4d** konposatuarena ere. Horrela eratzun aromatikoko halogeno ezberdinak eta heterozikloko metil talde gehigarriaren eragin biologikoa ezagutu eta alderatzeko. Modu honetan, egitura-aktibitate azterketa burutu ahalko da eta farmakoforoaren egitura ezaugarriak zehaztu. Dena den, Gradu Amaierako Lan honetan ez da horretarako denbora nahikorik egon eta etorkizun hurbilean egin beharreko lana izango da.

## ONDORIOAK

Ikerketa lan honetan lau 3-amino-1,5-dihidro-2H-onaren deribatu berri lortu ahal izan dira MCR sintesiaren bidez eta haien ondorengo karakterizazioa burutu da teknika ezberdinak baliatuz.

Erabilitako MCR erreakzioa aurretik deskribatua izanagatik ere, 4. eta 5. karbonoetan ordezkatzailerik ez duten laktama berriak sintetizatzeko erabili ahal izan da. Gainera, laktama eratzeko erabili den anilinaren halogeno ordezkatzailearen arabera, 3-bromoanilina erreaktiboa aproposena dela esan daiteke, harekin etekin hoberenak lortu baitira.

Laktamen ondorengo funtzionalizazioari dagokionez, **4a** konposatura erabili da substratu gisa erreaktibo elektroizale ezberdinekin. Eschenmoser gatza erabili denean, erreakzioa ez da erabatekoa izan baina bi produktu berrien nahastea lortu da. Produktu hauek identifikatu ahal izan dira, nahiz eta banandu ezin izan diren.

Sintetizatutako **4a** laktamaren aktibilitate zitotoxikoa aztertu da *in vitro* eta emaitza negatiboa izan da, hots, molekula honek ez du A594 zelula tumoralen proliferazioa inhibitzen. Posiblea da, hala ere, prestatu diren beste laktamak bioaktiboak izatea, fluor eta bromo halogenoak dituztenak, alegia.

Horregatik, interesgarria izango litzateke sintetizatutako laktama guztien aktibilitatea aztertzea, honela halogeno ezberdinaren presentziak aktibilitate biologikoan izan dezaketen eragina alderatu ahal izateko. Era berean, funtzionalizazio erreakzio aproposen bilaketa ere interesekoa izango litzateke. Laburbilduz, atera genezake ondorio nagusia ikertzen jarraitzeko beharra da, aktibilitate zitotoxiko eraginkorra duen laktama aurkitzeko eta hauen MCR bidezko sintesia eta funtzionalizazioa optimizatzeko.

## ATAL EXPERIMENTALA

### ATAL KIMIKOA

#### 1. Teknikak eta materialak

Lan esperimentalala laborategian aurrera eraman ahal izateko material eta tresneria ezberdinak beharrezkoak izan dira, hemen zehaztuta adierazten direnak:

Erreakzio kimikoen prestakuntzarako eta ondorengo tratamendurako, purutasun eta kalitate handiko disolbatzaile eta erreaktibo komertzialak erabili dira. Marka ezberdinak izanik (Sigma-Aldrich, Merck, Fluka edota Acros), denak etiketako jarraibideen arabera mantenduak eta erabiliak izan dira.

Erreakzioen jarraipenerako, geruza fineko kromatografiak burutu dira silize-gelezko kromatofolioetaz (Augram, SIL, G/UV<sub>254</sub>) baliatuz. TLC-en errebelaziorako, VL-6C ultramore argidun ( $\lambda = 254$  nm) lanparak erabili dira.

Disolbatzaileen eliminazioa lurrunketa bidez egin da Heidolph Laborota 4001 eta Buchi R-3000 lurzungailu birakariak erabiliz.

Produktuak purifikatuak izateko *flash* zutabeak erabili dira: fase geldikor bezala silika gela (Scharlab, *gel de silice* 60 Å) eta fase mugikorra hexano/etil azetato nahaste ezberdinak izanik.

Konposatuaren karakterizaziorako egin diren espektroak (<sup>1</sup>H-RMN, <sup>13</sup>C-RMN eta <sup>19</sup>F-RMN), erresonantzia magnetiko nuklearren bidez lortu dira Varian Unity Plus (300 MHz) eta Bruker Avance 400 (400 MHz) espektrometroei esker. Esperimentuak 20-25 °C-tara eta disolbatzaile bezala kloroformo deuteratua erabiliz burutu dira. Lerrakuntza kimikoak ( $\delta$ ) ppm-tan adierazita daude eta erreferentzia bezala disolbatzaile deuteratua ezarri da (7,26 ppm-tan <sup>1</sup>H-aren kasuan, eta 77.0 ppm-tan <sup>13</sup>C-an). Akoplamendu konstanteak ( $J$ ) Hertzioaetan (Hz) adierazi dira. Azkenik, <sup>13</sup>C-RMN espektroko karbonoen seinaleak ezberdindu ahal izateko, DEPT (*Distortionless Enhancement by Polarization Transfer*) esperimentuak burutu dira. Hau dena ikusi ahal izateko eta espektroen ediziorako MestReNova 9.0.0. programa erabili da.

Infragorri-espektroen lorpenerako, IRTF Nicolet iS10 Termo Scientific-a erabili da, Smart iTR osagarriarekin. Espektroko tontor esanguratsuen balioak cm<sup>-1</sup>-tan eman dira.

Masen espektrofotometroen datu esperimentalak Lucio Lascaray Eraikinean (CIEA) dagoen Analisirako Zerbitzu Zentralak eskeinitako lanari esker lortu dira. Bertan bidalitako

laginen masa zehatza kalkulatu da LC/Q-TOF ekipamendua (ionizazio iturra: ESI Agilent Jet Stream, serie zenbakia: US93620455) baliaztuz.

Konposatu bakoitzaren fusio-puntuak BÜCHI MPB-450 aparatuaren neurtu dira kapilare-hodi zabaliak erabiliz.

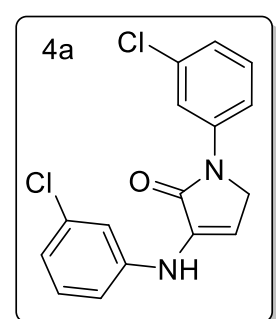
## 2. Osagai anitzeko 1,5-dihidro-2H-pirrol-2-onen sintesia

### Prozedura orokorra

Anilina baliokide bi aldehidoaren 1.1 baliokideekin eta etil pirubatoaren 3 baliokideekin nahastu dira nitrogeno atmosferapean 100 mL-ko matrazean, DCM disolbatzaile moduan erabiliz (3 mL errektiboko 1 mmol bakoitzeko). Azido sulfurikoaren 0.1 baliokide gehitu dira katalizatzaile lez, eta magnesio sulfato anhidroa ( $MgSO_4$ ) erreakzioan askatzen den ura xurgatzeko (3 g). Irabiagailu magnetikoaren laguntzaz, erreakzioa 72 orduz martxan eduki da giro tenperaturan.

Erreakzio gordina Büchner inbutua erabiliz iragazi da, eta bertan DCM-rekin bi aldiz garbitu. Kitasatoan bildutako iragazkina lurzungailu birakarian presio negatiboan kontzentratu da. Lortutako olio hexano : DCM nahastea edo etil eterra erabiliz kristalizatu da edo zutabe kromatografikoaren bidez purifikatu da, fase mugikor moduan hexano eta etil azetato nahaste ezberdinak erabiliz.

### 1-(3-Klorofenil)-3-((3-klorofenil)amino)-1,5-dihidro-2H-pirrol-2-on (4a)



Prozedura orokorra jarraituz, formaldehidoa (16.5 mmol, 1.23 mL), 3-kloroanilina (30 mmol, 3.17 mL) eta etil pirubatoa (45 mmol, 4.99 mL) nahastean eta ondoren kristalizazioa  $Et_2O$ -an eginez, solido zurihorixka den **4a** konposatuaren 1.36 g (%28) lortu dira.

**Fusio puntu:** 157 - 159 °C

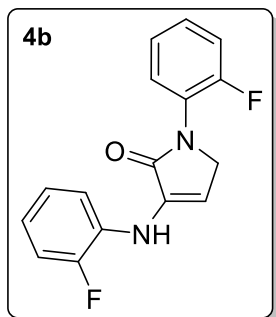
**$^1H-NMR$**  (400 MHz,  $CDCl_3$ ).  $\delta$  (ppm): 7.82 (dd,  $^4J_{HH} = 2.0$  Hz,  $^4J_{HH} = 2.0$  Hz, 1H,  $C_{Ar}H$ ), 7.69 (ddd,  $^3J_{HH} = 8.3$  Hz,  $^4J_{HH} = 2.0$  Hz,  $^4J_{HH} = 0.9$  Hz, 1H,  $C_{Ar}H$ ), 7.32 (dd,  $^3J_{HH} = 8.3$  Hz,  $^3J_{HH} = 8.3$  Hz, 1H,  $C_{Ar}H$ ), 7.23 (dd,  $^3J_{HH} = 7.9$  Hz,  $^3J_{HH} = 7.9$  Hz, 1H,  $C_{Ar}H$ ), 7.14 (ddd,  $^3J_{HH} = 7.9$  Hz,  $^4J_{HH} = 2.0$  Hz,  $^4J_{HH} = 0.9$  Hz, 1H,  $C_{Ar}H$ ), 7.10 (dd,  $^4J_{HH} = 2.0$  Hz,  $^4J_{HH} = 2.0$  Hz, 1H,  $C_{Ar}H$ ), 6.96-6.92 (m, 2H, 2 x  $C_{Ar}H$ ), 6.66 (sz, 1H, NH), 6.09 (t,  $^3J_{HH} = 2.5$  Hz, 1H, =CH), 4.40 (d,  $^3J_{HH} = 2.5$  Hz, 2H,  $CH_2$ ).

**<sup>13</sup>C-NMR:** (100 MHz, CDCl<sub>3</sub>). δ (ppm): 166.3 (C=O amida), 142.6 (C<sub>kuat</sub>), 140.1 (C<sub>kuat</sub>), 135.2 (C<sub>kuat</sub>), 135.1 (C<sub>kuat</sub>), 133.6 (C<sub>kuat</sub>), 130.6 (CH<sub>Ar</sub>), 130.4 (CH<sub>Ar</sub>), 124.7 (CH<sub>Ar</sub>), 121.4 (CH<sub>Ar</sub>), 118.7 (CH<sub>Ar</sub>), 116.6 (CH<sub>Ar</sub>), 116.4 (CH<sub>Ar</sub>), 115.0 (CH<sub>Ar</sub>), 102.1 (=CH), 49.6 (CH<sub>2</sub>).

**IRFT.** v (cm<sup>-1</sup>): 3350 (N-H, st), 3128 (sp<sup>2</sup> C-H, st), 2910 (sp<sup>3</sup> C-H, st), 1595 (C=O, st).

**HRMS** (Q-TOF). m/z: [C<sub>16</sub>H<sub>12</sub>Cl<sub>2</sub>N<sub>2</sub>O + H]<sup>+</sup> = 318,0327; masa zehatz esperimentalala 318,0341 izanik.

### 1-(2-Fluorfenil)-3-((2-fluorfenil)amino)-1,5-dihidro-2H-pirrol-2-ona (4b)



Prozedura orokorra jarraituz, formaldehidoa (16.5 mmol, 1.23 mL), 2-fluoranilina (30 mmol, 2.89 mL) eta etil pirubatoa (45 mmol, 4.99 mL) nahastean eta ondoren zutabe kromatografikoak eginez (Hexano:AcOEt 9:1), solido zurixka den **4b** konposatuaren 0.60 g (% 14) lortu dira.

**Fusio puntua:** 120 - 121 °C

**<sup>1</sup>H-NMR:** (400 MHz, CDCl<sub>3</sub>). δ (ppm): 7.62 (m, 1H, CH<sub>Ar</sub>), 7.36-7.09 (m, 6H, 6 x CH<sub>Ar</sub>), 6.91 (m, 1H, CH<sub>Ar</sub>), 6.78 (s<sub>z</sub>, 1H, NH), 6.18 (t, <sup>3</sup>J<sub>HH</sub> = 2.5 Hz, 1H, =CH), 4.44 (d, <sup>3</sup>J<sub>HH</sub> = 2.5 Hz, 2H, CH<sub>2</sub>).

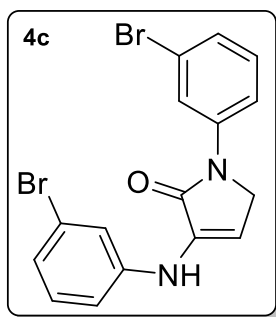
**<sup>13</sup>C-NMR:** (100 MHz, CDCl<sub>3</sub>). δ (ppm): 166.8 (C=O amida), 156.8 (d, <sup>1</sup>J<sub>FC</sub> = 250.1 Hz, C-F), 152.4 (d, <sup>1</sup>J<sub>FC</sub> = 243.5 Hz, C-F), 133.0 (C<sub>kuat</sub>), 130.3 (d, <sup>2</sup>J<sub>FC</sub> = 12.7 Hz, C<sub>kuat</sub>), 128.3 (d, <sup>3</sup>J<sub>FC</sub> = 8.0 Hz, CH<sub>Ar</sub>), 127.4 (d, <sup>4</sup>J<sub>FC</sub> = 1.7 Hz, CH<sub>Ar</sub>), 125.8 (d, <sup>2</sup>J<sub>FC</sub> = 12.4 Hz, C<sub>kuat</sub>), 124.7 (d, <sup>3</sup>J<sub>FC</sub> = 3.7 Hz, CH<sub>Ar</sub>), 124.6 (d, <sup>3</sup>J<sub>FC</sub> = 3.8 Hz, CH<sub>Ar</sub>), 121.2 (d, <sup>3</sup>J<sub>FC</sub> = 7.1 Hz, CH<sub>Ar</sub>), 116.9 (d, <sup>2</sup>J<sub>FC</sub> = 20.2 Hz, CH<sub>Ar</sub>), 116.5 (d, <sup>4</sup>J<sub>FC</sub> = 1.8 Hz, CH<sub>Ar</sub>), 115.5 (d, <sup>2</sup>J<sub>FC</sub> = 18.7 Hz, CH<sub>Ar</sub>), 103.6 (=CH), 51.4 (d, <sup>4</sup>J<sub>FC</sub> = 5.6 Hz, CH<sub>2</sub>).

**<sup>19</sup>F-NMR** (282 MHz, CDCl<sub>3</sub>). δ (ppm) -121.5, -132.1.

**IRFT.** v (cm<sup>-1</sup>): 3370 (N-H, st), 3051 (sp<sup>2</sup> C-H, st), 2914 (sp<sup>3</sup> C-H, st), 1684 (C=O, st).

**HRMS** (Q-TOF). m/z: [C<sub>16</sub>H<sub>12</sub>F<sub>2</sub>N<sub>2</sub>O + H]<sup>+</sup> = 286,0918; masa zehatz esperimentalala 286,0931 izanik.

### 1-(3-Bromofenil)-3-((3-bromofenil)amino)-1,5-dihidro-2H-pirrol-2-ona (4c)



Prozedura orokorra jarraituz, formaldehidoa (16.5 mmol, 1.23 mL), 2-kloroanilina (30 mmol, 3.27 mL) eta etil pirubatoa (45 mmol, 4.99 mL) nahastean eta ondoren zutabe kromatografikoa eginez hexano:DCM nahastean kristalduz, solido laranja den **4c** konposatuaren 2.64 g (%43) lortu dira.

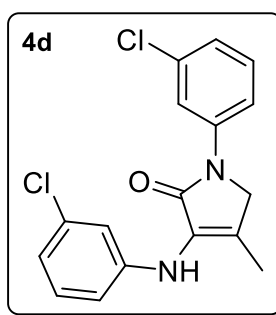
**Fusio puntua:** 138 - 141 °C

**<sup>1</sup>H-NMR:** (400 MHz, CDCl<sub>3</sub>).  $\delta$  (ppm): 7.94 (dd,  $^4J_{HH}$  = 1.8 Hz,  $^4J_{HH}$  = 1.8 Hz, 1H, CH<sub>Ar</sub>), 7.75 (ddd,  $^3J_{HH}$  = 7.7 Hz,  $^4J_{HH}$  = 2.2 Hz,  $^4J_{HH}$  = 1.8 Hz, 1H, CH<sub>Ar</sub>), 7.29 (m, 1H, CH<sub>Ar</sub>), 7.27-7.24 (m, 2H, 2 x CH<sub>Ar</sub>), 7.17 (dd,  $^3J_{HH}$  = 8.0 Hz,  $^3J_{HH}$  = 8.0 Hz, 1H, CH<sub>Ar</sub>), 7.09 (ddd,  $^3J_{HH}$  = 7.7 Hz,  $^4J_{HH}$  = 1.8 Hz,  $^4J_{HH}$  = 1.0 Hz, 1H, CH<sub>Ar</sub>), 6.98 (ddd,  $^3J_{HH}$  = 8.0 Hz,  $^4J_{HH}$  = 2.3 Hz,  $^4J_{HH}$  = 1.0 Hz, 1H, CH<sub>Ar</sub>), 6.63 (sz, 1H, NH), 6.09 (t,  $^3J_{HH}$  = 2.6 Hz, 1H, =CH), 4.39 (d,  $^3J_{HH}$  = 2.6 Hz, 2H, CH<sub>2</sub>).

**<sup>13</sup>C-NMR:** (100 MHz, CDCl<sub>3</sub>).  $\delta$  (ppm): 166.3 (C=O amida), 142.7 (C<sub>kuat</sub>), 140.3 (C<sub>kuat</sub>), 133.5 (C<sub>kuat</sub>), 130.8 (CH<sub>Ar</sub>), 130.6 (CH<sub>Ar</sub>), 127.6 (CH<sub>Ar</sub>), 124.3 (CH<sub>Ar</sub>), 123.3 (C<sub>kuat</sub>), 123.1 (C<sub>kuat</sub>), 121.5 (CH<sub>Ar</sub>), 119.2 (CH<sub>Ar</sub>), 117.1 (CH<sub>Ar</sub>), 115.5 (CH<sub>Ar</sub>), 115.5 (d,  $^2J_{FC}$  = 18.7 Hz, CH<sub>Ar</sub>), 102.1 (=CH), 49.6 (CH<sub>2</sub>).

**IRFT. v** (cm<sup>-1</sup>): 3325 (N-H, st), 3101 (sp<sup>2</sup> C-H, st), 2921 (sp<sup>3</sup> C-H, st), 1612 (C=O, st).

### 1-(3-Klorofenil)-3-((3-klorofenil)amino)-4-metil-5-dihidro-2H-pirrol-2-ona (4d)



Prozedura orokorra jarraituz, formaldehidoa (16.5 mmol, 1.23 mL), 2-kloroanilina (30 mmol, 2.89 mL) eta metil 2-oxobutanoatoa (45 mmol, 4.99 mL) nahastean eta ondoren kristalizazioa Et<sub>2</sub>O-an eginez, solido zuri-horixka den **4d** konposatuaren 0.86 g (%17) lortu dira.

**Fusio puntua:** 159 - 161 °C

**<sup>1</sup>H-NMR:** (400 MHz, CDCl<sub>3</sub>).  $\delta$  (ppm): 7.78 (dd,  $^4J_{HH}$  = 2.0 Hz,  $^4J_{HH}$  = 2.0 Hz, 1H, CH<sub>Ar</sub>), 7.67 (ddd,  $^3J_{HH}$  = 8.0 Hz,  $^4J_{HH}$  = 2.0 Hz,  $^4J_{HH}$  = 0.9 Hz, 1H, CH<sub>Ar</sub>), 7.30 (dd,  $^3J_{HH}$  = 8.0 Hz,  $^3J_{HH}$  = 8.0 Hz, 1H, CH<sub>Ar</sub>), 7.15 (dd,  $^3J_{HH}$  = 8.0 Hz,  $^3J_{HH}$  = 8.0 Hz, 1H, CH<sub>Ar</sub>), 7.11 (ddd,  $^3J_{HH}$  = 8.0 Hz,  $^4J_{HH}$  = 2.0 Hz,  $^4J_{HH}$  = 0.9 Hz, 1H, CH<sub>Ar</sub>), 6.87 (ddd,  $^3J_{HH}$  = 8.0 Hz,  $^4J_{HH}$  = 2.0 Hz,  $^4J_{HH}$  = 0.9 Hz, 1H,

$\text{CH}_{\text{Ar}}$ ), 6.78 (dd,  $^4J_{\text{HH}} = 2.0$  Hz,  $^4J_{\text{HH}} = 2.0$  Hz, 1H,  $\text{CH}_{\text{Ar}}$ ), 6.72 (m, 1H,  $\text{CH}_{\text{Ar}}$ ), 5.99 (sz, 1H, NH), 4.26 (d,  $^4J_{\text{HH}} = 1.0$  Hz, 2H,  $\text{CH}_2$ ), 1.93 (t,  $^4J_{\text{HH}} = 1.0$  Hz, 3H,  $\text{CH}_3$ ).

**$^{13}\text{C-NMR}$ :** (100 MHz,  $\text{CDCl}_3$ ). δ (ppm): 167.6 (C=O amida), 143.7 ( $\text{C}_{\text{kuat}}$ ), 140.3 ( $\text{C}_{\text{kuat}}$ ), 133.0 ( $\text{C}_{\text{kuat}}$ ), 134.8 ( $\text{C}_{\text{kuat}}$ ), 130.3 ( $\text{CH}_{\text{Ar}}$ ), 130.2 ( $\text{C}_{\text{kuat}}$ ), 130.1 ( $\text{CH}_{\text{Ar}}$ ), 125.4 ( $\text{C}_{\text{kuat}}$ ), 124.1 ( $\text{CH}_{\text{Ar}}$ ), 120.9 ( $\text{CH}_{\text{Ar}}$ ), 118.2 ( $\text{CH}_{\text{Ar}}$ ), 117.2 ( $\text{CH}_{\text{Ar}}$ ), 116.2 ( $\text{CH}_{\text{Ar}}$ ), 115.7 ( $\text{CH}_{\text{Ar}}$ ), 117.1 ( $\text{CH}_{\text{Ar}}$ ), 115.5 ( $\text{CH}_{\text{Ar}}$ ), 115.5 (d,  $^2J_{\text{FC}} = 18.7$  Hz,  $\text{CH}_{\text{Ar}}$ ), 53.0 ( $\text{CH}_2$ ), 14.5 ( $\text{CH}_3$ ).

**IRFT.** ν (cm<sup>-1</sup>): 3320 (N-H, st), 3085 (sp<sup>2</sup> C-H, st), 2975 (sp<sup>3</sup> C-H, st), 1610 (C=O, st).

**HRMS** (Q-TOF). m/z:  $[\text{C}_{17}\text{H}_{14}\text{Cl}_2\text{N}_2\text{O} + \text{H}]^+ = 332,0483$ ; masa zehatz esperimentalala 332,0502 izanik.

### 3. 4a Laktamaren funtzionalizazioa

**4a** Laktamaren baliokide bat (2 mmol, 0.668 g), (*N,N*-dimetil) metilenamonio ioduroaren 1.5 baliokide (3 mmol, 0.555 g) eta 1.5 baliokide trietilamina (0.418 mL) nahastu dira hoztailea duen matraze batean. Kloroformo (3 mL) disolbatzailea erabili da eta irabiagailu magnetikoarekin irabiatzen mantendu da 60 °C-tan 72 ordutan zehar.

Erreakzioa amaituta, ura (5 mL) eta DCM (10 mL) gehitu eta dekantatzen utzi da. Fase organikoa hiru aldiz garbitu da urarekin (3 x 5 mL), eta amaitzeko  $\text{MgSO}_4$  anhidroz tratatu da lurrungailu birakarian disolbatzailea baporatu aurretik.

Lotutako olio zutabe kromatografikoaren bidez purifikatu da (Hexano:DCM 8:2 nahastearekin hasi eta 1:1-rekin amaitu) eta **8** eta **9** konposatuen nahastea lortu da.  $^1\text{H-NMR}$  analisiaren arabera, konposatuak identifikatu dira eta osagai horien arteko proportzioa 1:1 dela zehaztu da.

## ATAL BIOLOGIKOA

### 1. Teknikak eta materialak

Sintetizatu diren laktamen *in vitro*-ko aktibitate zitotoxikoaren ebaluaziorako, komertzialki lortutako A-549 giza albeoloetako epitelio basalaren minbizi-zelulak erabili dira, nitrogeno likido ontzi batean kontserbatuak izan direnak. II-A mailako fluxu-laminarreko kanpaina tratatuak izan dira eta F-12K medioan hazi dira, %10-eko FBS-a eta normozin antibiotikoekin batera.

Zelulak inkubagailuan mantendu dira tenperatura eta hezetasun maila optimoetan ( $\text{CO}_2$  %5ean; %95eko hezetasuna;  $37^\circ\text{C}$ ). Plaken irakurketarako, 450 eta 620 nm-tan absorbantzia neurketak egiten dituen irakurgailu bat erabili da eta azken balioa bi absorbantzien arteko kenketa eginez lortu da. Entsegu kolorimetriko hauek egin ahal izateko CCK-8 errektiboa erabili da.

### 2. Zitotoxikotasun probak

**4a** Konposatura purifikatuaren kantitate ezberdinak DMSO-n disolbatu dira, beti ere DMSO-aren azken kontzentrazioa %5 baino handiago izan gabe. Disoluzio hauek  $5^\circ\text{C}$ -tan gorde dira erabiliak izan arte. A-549 zelulak hazi ondoren, tripsinarekin erauzi dira eta 96 zulotxotako plakan inokulatu dira, hauetako bakoitzean  $2,5-3 \times 10^3$  zelula jarriz. 24 orduz inkubagailuan hazkuntzan mantendu ostean, konposatuaren disoluzio ezberdinak gehitu dira: 1, 2.5, 5, 10, 20, 30 eta  $50 \mu\text{M}$ -eko kontzentrazioak zehazki. 48 orduz inkubatu dira, gero  $10 \mu\text{L}$  CCK-8 gehitzeko eta berriz 2 orduz inkubatzeko. Amaitzeko, zulotxo bakoitzaren absorbantzia neurtu da (450 eta 620 nm) zelula bizien proportzioa kalkulatu ahal izateko. Zulotxo bakoitzaren konposatuen kontzentrazioa eta zelula bizien ehunekoaren arabera,  $\text{IC}_{50}$  balioa ( $\mu\text{M}$ ) lortu ahal izan da, hau da, zenbateko laktama kontzentrazioa behar den zelula hazkuntzaren %50-a inhibitzen da.

**4a** Laktamaren  $\text{IC}_{50}$ -ak  $50 \mu\text{M}$  baino balio handiagoa eman du, edo bestera esanda, zelula hazkuntzaren % 50-a inhibitzen laktamaren kontzentrazioa  $50 \mu\text{M}$  baino handiagoa izan behar da.

## BIBLIOGRAFIA

- <sup>1</sup> Munduko Osasun Erakundea. <https://www.who.int/es/news-room/fact-sheets/detail/cancer>. (2021ko ekainaren 2an kontsultatua).
- <sup>2</sup> Caruano, J.; Muccioli, G. G.; Robiette, R. Biologically Active  $\gamma$ -Lactams: Synthesis and Natural Sources. *Org. Biomol. Chem.* **2016**, 14(43), 10134-10156. DOI: 10.1039/C6OB01349J
- <sup>3</sup> Joule, J.A. Chapter Four - Natural Products Containing Nitrogen Heterocycles—Some Highlights 1990–2015. *Adv. Heterocycl. Chem.* **2016**, 119, 81-106. DOI: 10.1016/bs.aihch.2015.10.005.
- <sup>4</sup> Vitaku, E.; Smith, D. T.; Njardarson, J. T. Analysis of the Structural Diversity, Substitution patterns, and Frequency of Nitrogen Heterocycles Among U.S. FDA Approved Pharmaceuticals. *J Med Chem.* **2014**, 57(24), 10257-10274. DOI: 10.1021/jm501100b.
- <sup>5</sup> Patani G.A., LaVoie E.J. Bioisosterism: A Rational Approach in Drug Design. *Chem. Rev.* **1996**, 96, 3147–3176. DOI: 10.1021/cr950066q.
- <sup>6</sup> Bhardwaj, V.; Gumber, D.; Abbot, V.; Dhiman, S.; Sharma, P. Pyrrole: a resourceful molecule in key medicinal hetero-aromatics. *RSC Adv.* **2015**, 5, 15233-15266. DOI: 10.1039/C4RA15710A
- <sup>7</sup> Li Petri, G.; Spanò, V.; Spatola, R.; Holl, R.; Raimondi, M. V.; Barraja, P; Montalbano, A. Bioactive Pyrrole-Based Compounds with Target Selectivity. *Eur. J. Med. Chem.* **2020**, 208, 112783. DOI: 10.1016/j.ejmech.2020.112783.
- <sup>8</sup> Gholap, S. S. Pyrrole: An Emerging Scaffold for Construction of Valuable Therapeutic Agents. *Eur. J. Med. Chem.* **2016**, 110, 13-31. DOI: 10.1016/j.ejmech.2015.12.017.
- <sup>9</sup> Brasca, M. G.; Gnocchi, P.; Nesi, M.; Amboldi, N.; Avanzi, N.; Bertrand, J.; Bindi, S.; Canevari, G.; Casero, D.; Ciomei, M.; Colombo, N.; Crioli, S.; Fachin, G.; Felder, E. R.; Galvani, A.; Isacchi, A.; Motto, I.; Panzeri, A.; Donati, D. Novel Pyrrole Carboxamide Inhibitors of JAK2 as Potential Treatment of Myeloproliferative Disorders. *Bioorg Med Chem.* **2015**, 23(10), 2387-2407. DOI: 10.1016/j.bmc.2015.03.059.
- <sup>10</sup> Centro de información online de medicamentos de la Agencia Española del Medicamento y Productos Sanitarios. (Ficha técnica SUTENT 12,5 mg cápsulas duras) [https://cima.aemps.es/cima/dochtml/ft/06347003/FT\\_06347003.html](https://cima.aemps.es/cima/dochtml/ft/06347003/FT_06347003.html) (2021eko ekainaren 2an kontsultatua)
- <sup>11</sup> Joudeh, J.; Claxton, D. Obatoclax mesylate: pharmacology and potential for therapy of hematological neoplasms. *J. Drug Eval.* **2012**, 21(3), 363-373. DOI: 10.1517/13543784.2012.652302
- <sup>12</sup> Kumar, R. S.; Almansour, Al.; Arumugam, N.; Mohammad, F.; Kotresha, D.; Menéndez, J.C. Spirooxindole-Pyrrolidine Heterocyclic Hybrids Promotes Apoptosis Through Activation

---

of Caspase-3. *Bioorg. Med. Chem.* **2019**, 27(12), 2487-2498. DOI: 10.1016/j.bmc.2019.03.011

<sup>13</sup> Arumugam, N.; Almansour, A.I.; Kumar, R. S.; Govindasami, P.; Al-thamili, D. M.; Krishnamoorthy, R.; Periasamy, V. S.; Alshatwi, A. A.; Mahalingam, S. M.; Thangamani, S.; Menéndez, J.C. Multicomponent Domino Synthesis, Anticancer Activity and Molecular Modeling Simulation of Complex Dispirooxindolopyrrolidines. *Molecules*. **2018**, 23(5), 1094. DOI: 10.3390/molecules23051094.

<sup>14</sup> Saraswat, P.; Jeyabalan, G.; Hassan, M. Z.; Rahman, M. U.; Nyola, N. K. Review of Synthesis and Various Biological Activities of Spiro Heterocyclic Compounds Comprising Oxindole and Pyrrolidine Moieties. *Synthetic Communications*. **2016**, 46(20), 1643-1664. DOI: 10.1080/00397911.2016.1211704.

<sup>15</sup> National Cancer Institute. <https://www.cancer.gov/publications/dictionaries/cancer-drug/def/idasanitlin> (2021eko ekainaren 2an kontsultatua)

<sup>16</sup> Montesinos, P.; Beckermann, B. M.; Catalani, O.; Esteve, J.; Gamel, K.; Konopleva, M. Y.; Martinelli, G.; Monnet, A.; Papayannidis, C.; Park, A.; Récher, C.; Rodríguez-Veiga, R.; Röllig, C.; Vey, N.; Wei A. H.; Yoo, SS.; Fenaux, P. MIRROS: a randomized, placebo-controlled, Phase III trial of cytarabine ± idasanitin in relapsed or refractory acute myeloid leukemia. *Future Oncology*. **2020**, 16(13), 1744-8301. DOI: 10.2217/fon-2020-0044

<sup>17</sup> Baldwin, J.E.; Lynch, G.P.; Pitlik, J.  $\gamma$ -Lactam analogues of  $\beta$ -lactam antibiotics. *J. Antibiot.* **1991**, 44(1), 1881-1469. DOI: 10.7164/antibiotics.44.1

<sup>18</sup> Malykh, A. G.; Sadaie, M.R. Piracetam and Piracetam-Like Drugs. *Drugs*. **2012**, 70, 287-312 (2010). DOI: 10.2165/11319230-00000000-00000.0

<sup>19</sup> Yang, Z.; Shu, Y.; Ma, L.; Wittmann, M.; Ray, W.J.; Seager, M. A.; Koeplinger, K. A.; Thompson, C. D.; Hartman, G. D.; Bilodeau, M. T.; Kuduk, S. D. Discovery of Naphthyl-Fused 5-Membered Lactams as a New Class of M1 Positive Allosteric Modulators. *ACS Med. Chem. Lett.* **2014**, 5(5), 604-608. DOI: 10.1021/ml500055h.

<sup>20</sup> Kazmierski, W. M.; Andrews, W.; Furfine, E.; Spaltenstein, A.; Wright, L. Discovery of Potent Pyrrolidone-Based HIV-1 Protease Inhibitors with Enhanced Drug-Like Properties. *Bioorg. Med. Chem. Lett.* **2004**, 14(22), 5689-5692. DOI: 10.1016/j.bmcl.2004.08.039.

<sup>21</sup> Goldberg, J. A.; Nguyen, H.; Kumar, V.; Spencer, E. J.; Hoyer, D.; Marshall, E.K.; Cmolik, A.; O'Shea, M.; Marshall, S.H.; Hujer, A. M.; Hujer, K. M.; Rudin, S. D.; Domitrovic, T. N.; Bethel, C. R.; Papp-Wallace, K. M.; Logan, L. K.; Perez, F.; Jacobs, M. R.; van Duin, D.; Kreiswirth, B. M.; Bonomo, R. A.; Plummer, M. S.; van den Akker, F. A  $\gamma$ -Lactam Siderophore Antibiotic Effective against Multidrug-Resistant Gram-Negative Bacilli. *J. Med. Chem.* **2020**, 63(11), 5990-6002. DOI: 10.1021/acs.jmedchem.0c00255.

- 
- <sup>22</sup> Tan, S. W. B.; Chai, C. L. L.; Moloney, M. G. Mimics of Pramanicin Derived from Pyroglutamic Acid and their Antibacterial Activity. *Org. Biomol. Chem.* **2017**, *15*(8), 1889-1912. DOI: 10.1039/C6OB02828D.
- <sup>23</sup> Robinson, R. P.; Laird, E. R.; Blake, J. F.; Bordner, J.; Donahue, K. M.; Lopresti-Morrow, L. L.; Mitchell, P. G.; Reese, M. R.; Reeves, L. M.; Stam, E. J.; Yocom, S. A. Structure-Based Design and Synthesis of a Potent Matrix Metalloproteinase-13 Inhibitor Based on a Pyrrolidinone Scaffold. *J. Med. Chem.* **2000**, *43*(12), 2293-2296. DOI: 10.1021/jm0001368.
- <sup>24</sup> Robinson, R. P.; Laird, E. R.; Blake, J. F.; Bordner, J.; Donahue, K. M.; Lopresti-Morrow, L. L.; Mitchell, P. G.; Reese, M. R.; Reeves, L. M.; Stam, E. J.; Yocom, S. A. Structure-Based Design and Synthesis of a Potent Matrix Metalloproteinase-13 Inhibitor Based on a Pyrrolidinone Scaffold. *ACS Jour. J. Med. Chem.* **2000**, *43*(12), 2293-2296. DOI: 10.1021/jm0001368.
- <sup>25</sup> Lee, M.; Lin, H.; Cheng, F.; Chiang, W.; Kuo, Y. Isolation and Characterization of New Lactam Compounds that Inhibit Lung and Colon Cancer Cells from Adlay (*Coix lachryma-jobi* L. var. *ma-yuen* Stapf) Bran. *Food. Chem. Toxic.* **2008**, *46*(6), 1933-1939. DOI: 10.1016/j.fct.2008.01.033.
- <sup>26</sup> Nay, B.; Riache, N.; Evanno, L. Chemistry and biology of non-tetramic  $\gamma$ -hydroxy- $\gamma$ -lactams and  $\gamma$ -alkylidene- $\gamma$ -lactams from natural sources. *Nat. Prod. Rep.* **2009**, *26*(8), 1044-1062. DOI: 10.1039/b903905h
- <sup>27</sup> Piotrowska, D. G.; Głowacka, I. E.; Schols, D.; Snoeck, R.; Andrei, G.; Gotkowska, J. Novel Isoxazolidine and  $\gamma$ -Lactam Analogues of Homonucleosides. *Molecules* **2019**, *24*(22), 4014. DOI: 10.3390/molecules24224014.
- <sup>28</sup> Janecka, A.; Wyrebska, A.; Gach, K.; Fichna, J.; Janecki, T. desing Synthetic  $\alpha$ -Methylenelactones and  $\alpha$ -Methylenelactams with Anticancer Potential. *Drug. Discov. Today.* **2012**, *17*(11), 561-572. DOI: 10.1016/j.drudis.2012.01.013.
- <sup>29</sup> Agatsuma, T.; Akama, T.; Nara, S.; Matsumiya, S.; Nakai, R.; Ogawa, H.; Otaki, S.; Ikeda, S.; Saitoh, Y.; Kanda, Y. UCS1025A and B, New Antitumor Antibiotics from the Fungus *Acremonium* Species. *Organic Letters*, **2002**, *4*(25), 4387-4390. DOI: 10.1021/o1026923b
- <sup>30</sup> Fenical, W.; Jensen P.R.; Palladino, M. A.; Lam, K. S.; Lloyd, G. K.; Potts, B. C. Discovery and Development of the Anticancer Agent Salinosporamide A (NPI-0052). *Bioorg. Med. Chem.* **2009**, *17*(6), 19022674. DOI: 10.1016/j.bmc.2008.10.075
- <sup>31</sup> Lee, C.; Choi, E.; Cho, M.; Lee, B.; OH, S. J.; Park, SK.; Lee, K.; Kim, H. M.; Han, G. Structure and property based design, synthesis and biological ecaluation of  $\gamma$ -lactam based HDAC inhibitors: Part II. *Bioorg. Med. Chem. Letters*, **2012**, *22*(12), 4189-4192. DOI: 10.1016/j.bmcl.2012.04.045

- 
- <sup>32</sup> Shangary, S.; Wang, S. Small-molecule inhibitors of the MDM2-p53 protein-protein interaction to reactivate p53 function: a novel approach for cancer therapy. *Annu. Rev. Pharmacol. Toxicol.* **2009**, *49*(1), 223-241. DOI: 10.1146/annurev.pharmtox.48.113006.094723
- <sup>33</sup> Zhuang, C.; Miao, Z.; Zhu, L.; Dong, G.; Guo, Z.; Wang, S.; Zhang, Y.; Wu, Y.; Yao, J.; Sheng, C.; Zhang, W. Discovery, Synthesis, and biological evaluation of Orally Active Pyrrolidone Derivatives As Novel Inhibitors of p53-MDM2 Protein-Protein Interaction. *J Med Chem.* **2012**, *55*(22), 9630-9642. DOI: 10.1021/jm300969t.
- <sup>34</sup> Kirpotina, L. N.; Schepetkin, I. A.; Khlebnikov, A. I.; Ruban, O. I.; Ge, Y.; Ye, R. D.; Kominsky, D. J.; Quinn, M. T. 4-Aroyl-3-hydroxy-5-phenyl-1H-pyrrol-2(5H)-ones as N-formyl peptide receptor 1 (FPR1) antagonists. *Biochem. Pharmacol.*, **2017**, *142*, 120–132. DOI: 10.1016/j.bcp.2017.07.004
- <sup>35</sup> Ma, K., Wang, P., Fu, W., Wan, X., Zhou, L., Chu, Y., & Ye, D. Rational design of 2-pyrrolinones as inhibitors of HIV-1 integrase. *Bioorg. Med. Chem. Lett.* **2011**, *21*(22), 6724–6727. DOI:10.1016/j.bmcl.2011.09.054.
- <sup>36</sup> Peifer, C.; Selig, R.; Kinkel, K.; Ott, D.; Totzke, F.; Schächtele, C.; Heidenreich, R.; Röcken, M.; Schollmeyer, D.; Laufer, S. Design, Synthesis, and Biological Evaluation of Novel 3-Aryl-4-(1H-indole-3yl)-1,5-dihydro-2H-pyrrole-2-ones as Vascular Endothelial Growth Factor Receptor (VEGF-R) Inhibitors. *J Med Chem.*, **2008**, *51*(13), 3814–3824. DOI:10.1021/jm8001185
- <sup>37</sup> Caso, A.; Laurenzana, I.; Lamorte, D.; Trino, S.; Esposito, G.; Piccialli, V.; Costantino, V. Smenamide A Analogues. Synthesis and Biological Activity on Multiple Myeloma Cells. *Mar Drugs.* **2018**, *16*(6), 206. DOI: 10.3390/md16060206.
- <sup>38</sup> Del Corte, X.; Martinez de Marigorta, E.; Palacios, F.; Vicario, J. A brønsted acid-catalyzed multicomponent reaction for the synthesis of highly functionalized γ-lactam derivatives. *Molecules*, **2019**, *24*(16), 2951. DOI: 10.3390/molecules24162951.
- <sup>39</sup> Geranurimi, A.; Lubell, W. D. Diversity-Oriented Syntheses of β-Substituted α-Amino γ-Lactam Peptide Mimics with Constrained Backbone and Side Chain Residues. *Org. Lett.* **2018**, *20*(19), 6126-6129. DOI: 10.1021/acs.orglett.8b02575.
- <sup>40</sup> Ganesh Kumar, M.; Veeresh, K.; Nalawade, S.A.; Nithun, R. V.; Gopi, H. N. Direct Transformation of N-Protected α,β-Unsaturated γ-Amino Amides Into γ-Lactams Through a Base-Mediated Molecular Rearrangement. *J. Org. Chem.* **2019**, *84*(23), 15145-15153. DOI: 10.1021/acs.joc.9b01936.
- <sup>41</sup> Ye, Y.; Fang, F.; Li, Y. Synthesis and Anti-Biofilm Activities of Dihydro-pyrrol-2-one Derivatives on *Pseudomonas aeruginosa*. *Bioorg. Med. Chem. Lett.* **2015**, *25*(3), 597-601. DOI: 10.1016/j.bmcl.2014.12.010.

- 
- <sup>42</sup> Zhu, Q.; Gao, L.; Chen, Z.; Zheng, S.; Shu, H.; Li, J.; Jiang, H.; Liu, S. A novel class of small-molecule caspase-3 inhibitors prepared by multicomponent reactions. *Euro J Med Chem*, **2012**, *54*, 232–238. DOI:10.1016/j.ejmech.2012.05.001.
- <sup>43</sup> Del Corte, X.; López-Francés, A.; Maestro, A.; Villate-Beitia, I.; Sainz-Ramos, M.; Martinez de Marigorta, E.; Pedraz, J. L.; Palacios, F.; Vicario, J. A multicomponent protocol for the synthesis of highly functionalized  $\gamma$ -lactam derivatives and their applications as antiproliferative agents. (*Non-published results*)
- <sup>44</sup> Sajko, J. S.; Bilić, V.L.; Kosalec, I.; Jerić, I. Multicomponent Approach to a Library of N-Substituted  $\gamma$ -Lactams. *ACS Comb Sci*. **2019**, *21*(1), 28-34. DOI: 10.1021/acscombsci.8b00147.
- <sup>45</sup> Vicario, J.; Palacios, F.; Martinez de Marigorta, E.; de los Santos, J.; Ochoa de Retana, A. Multicomponent Reactions in the Synthesis of  $\gamma$ -Lactams. *Synthesis*, **2018**, *50*, 4539–4554. DOI: 10.1055/s-0037-1611014.
- <sup>46</sup> Sajko, J. S.; Bilić, V.L.; Kosalec, I.; Jerić, I. Multicomponent Approach to a Library of N-Substituted  $\gamma$ -Lactams. *ACS Comb Sci*. **2019**, *21*(1), 28-34. DOI: 10.1021/acscombsci.8b00147.
- <sup>47</sup> Taylor, A.P.; Robinson, R.P.; Fobian, Y. M.; Blakemore, D. C.; Jones, L. H.; Fadeyi, O. Modern Advances in Heterocyclic Chemistry in Drug Discovery. *Org Biomol Chem*. **2016**, *14*(28), 6611-6637. DOI: 10.1039/C6OB00936K.
- <sup>48</sup> del Corte, X.; López-Francés, A.; Maestro, A.; Martinez de Marigorta, E.; Palacios, F.; Vicario, J. Brönsted Acid Catalyzed Multicomponent Synthesis of Phosphorus and Fluorine-Derived  $\gamma$ -Lactam Derivatives. *J. Org. Chem.* **2020**, *85*(22), 14369-14383. DOI: 10.1021/acs.joc.0c00280.